

Федеральное государственное автономное образовательное  
учреждение высшего образования

САНКТ-ПЕТЕРБУРГСКИЙ НАЦИОНАЛЬНЫЙ  
ИССЛЕДОВАТЕЛЬСКИЙ УНИВЕРСИТЕТ ИТМО

Факультет систем управления и робототехники

Лабораторная работа №3

**ВЫНУЖДЕННОЕ ДВИЖЕНИЕ И ПОКАЗАТЕЛИ КАЧЕСТВА**

Студент: Заводин Е.Ю.

Лин САУ R23 бак 1.1.1

Преподаватели: Перегудин А.А.

Пашенко А.В.

Санкт-Петербург

2025

## Содержание

<b>1</b>	<b>Вынужденное движение</b>	<b>3</b>
1.1	Выводы . . . . .	6
<b>2</b>	<b>Качество переходных процессов</b>	<b>6</b>
2.1	Выводы . . . . .	12
<b>3</b>	<b>Вывод по работе</b>	<b>12</b>
<b>4</b>	<b>Приложение А. Код для выполнения заданий</b>	<b>13</b>

# 1 Вынужденное движение

В задании рассматриваю систему 2-го порядка, заданную уравнением

$$\ddot{y} + a_1 \dot{y} + a_0 y = a_0 u$$

Для этой системы составил структурную схему:

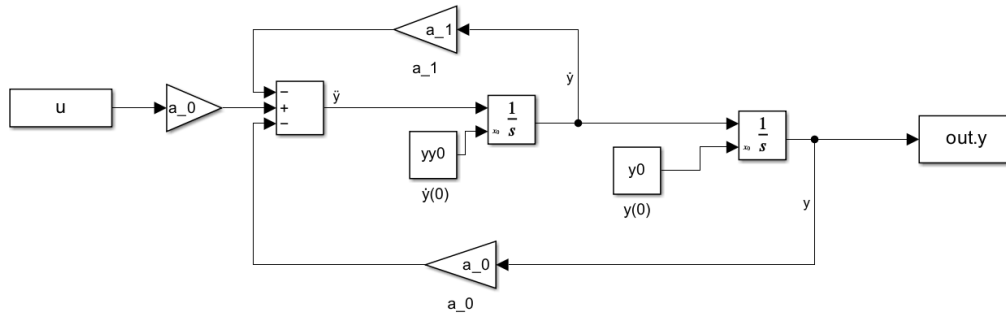


Рисунок 1: Структурная схема системы первого задания

Поочерёдно возьмём варианты входного сигнала из следующего набора параметров:  $\{1.5, 0.6t, \sin 6t\}$ , а также наборы параметров  $a_1, a_0$ , взятые из предыдущей лабораторной работы:  $\{[2, 65], [0, 64], [-2, 65]\}$ . Для каждого значения из каждого набора параметров построим систему, и промоделируем её при трёх различных случаях начальных условий

- $y(0) = -1, \dot{y}(0) = 0$ ;
- $y(0) = 0, \dot{y}(0) = 0$ ;
- $y(0) = 1, \dot{y}(0) = 0$ .

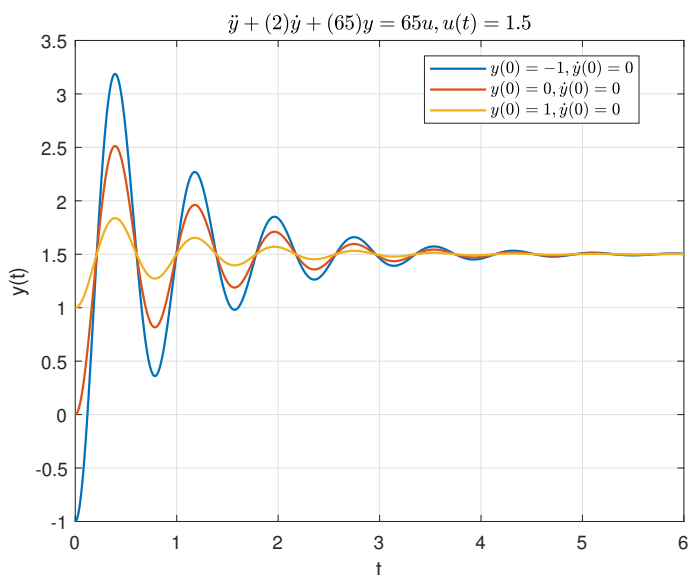


Рисунок 2:  $a_1 = 2, a_0 = 65, u(t) = 1.5$

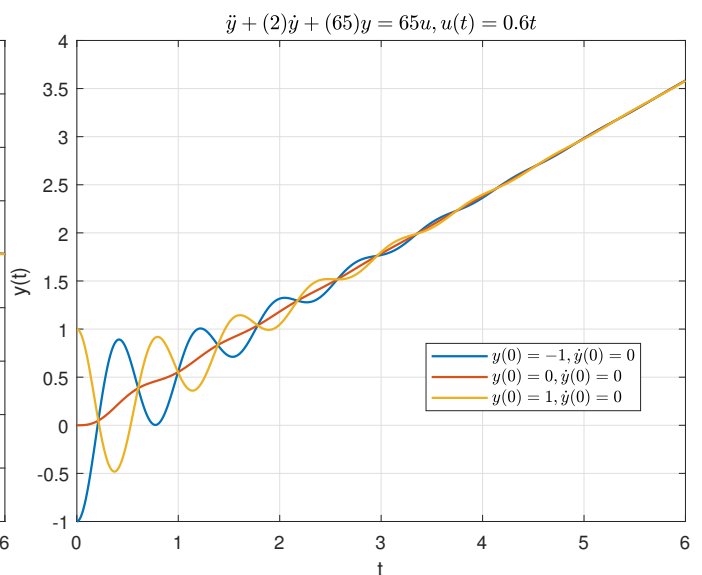
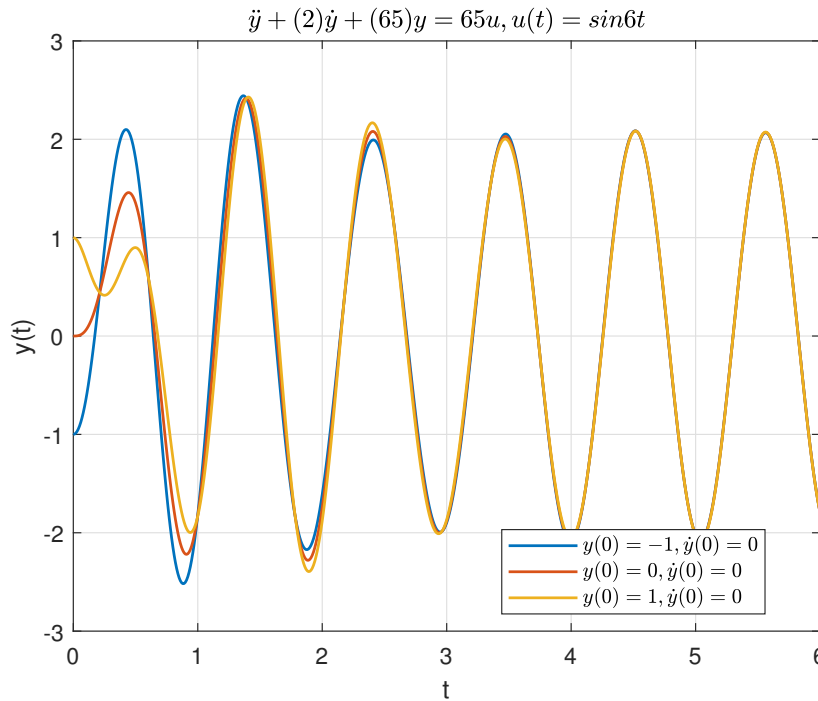
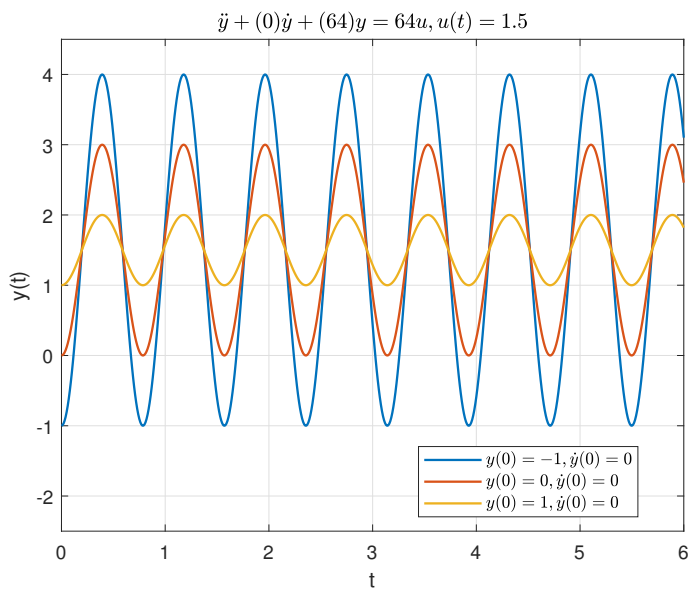
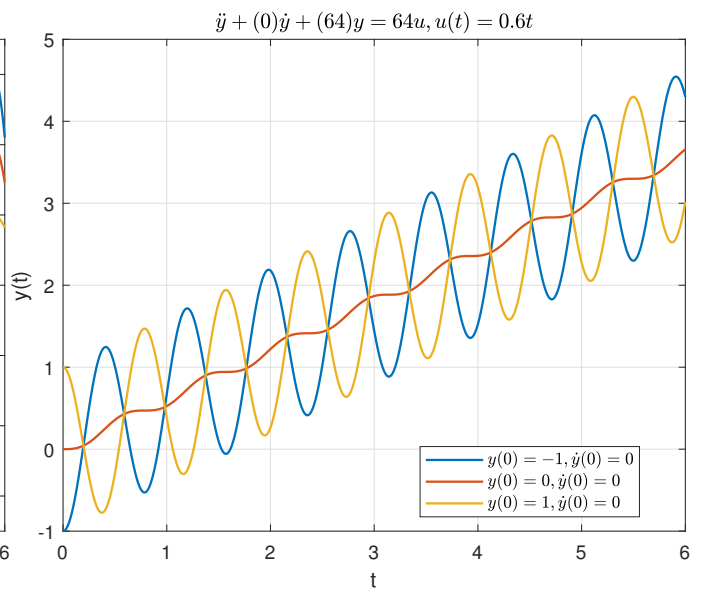
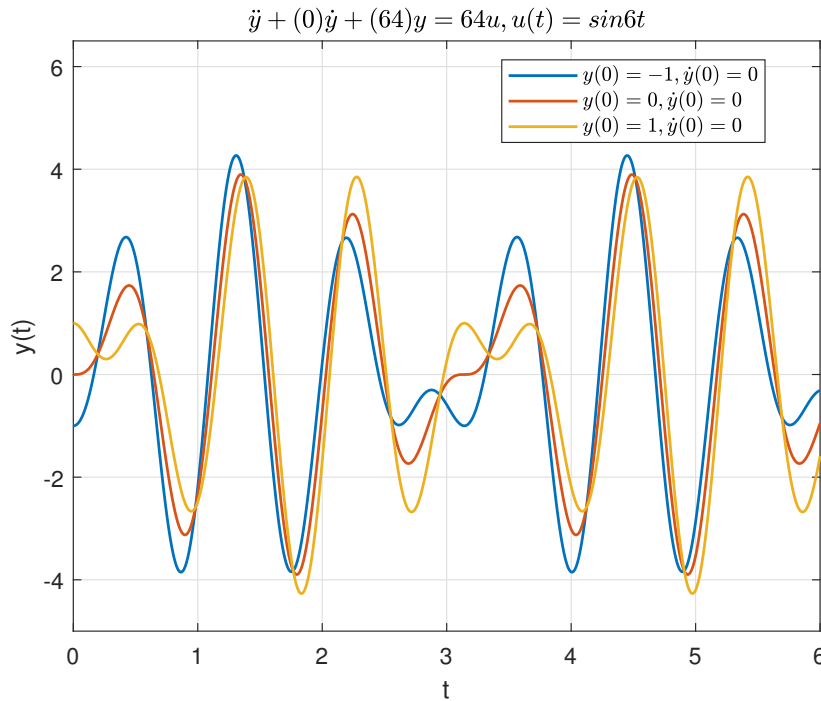


Рисунок 3:  $a_1 = 2, a_0 = 65, u(t) = 0.6t$

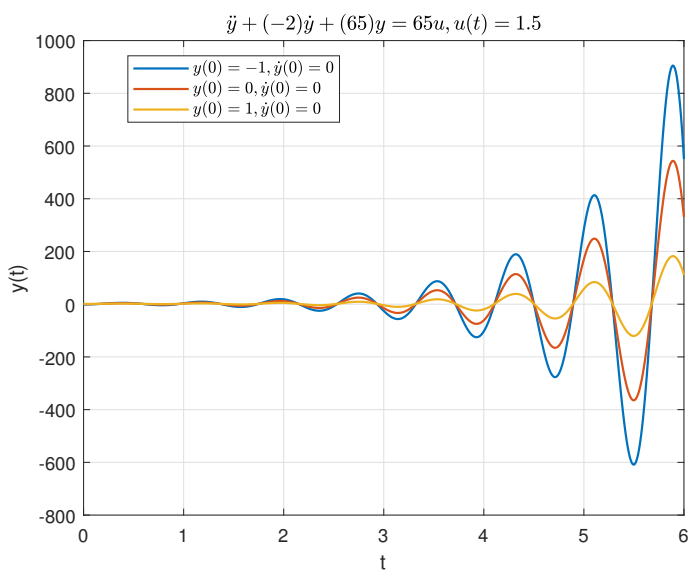
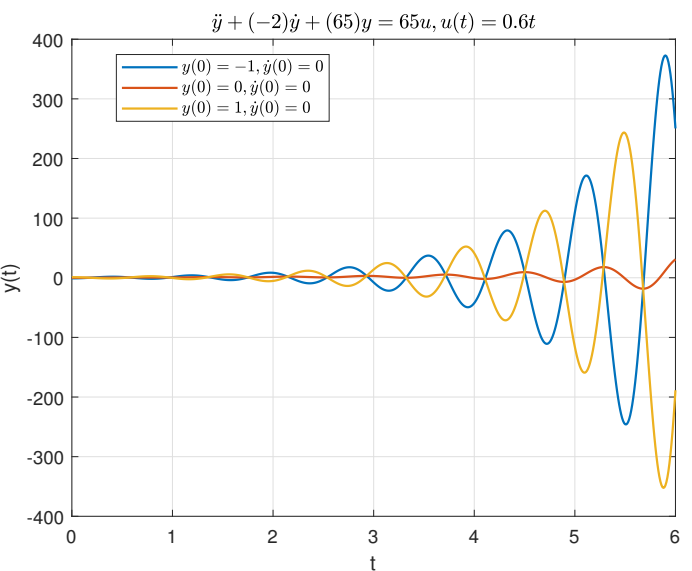
Рисунок 4:  $a_1 = 2, a_0 = 65, u(t) = \sin 6t$ 

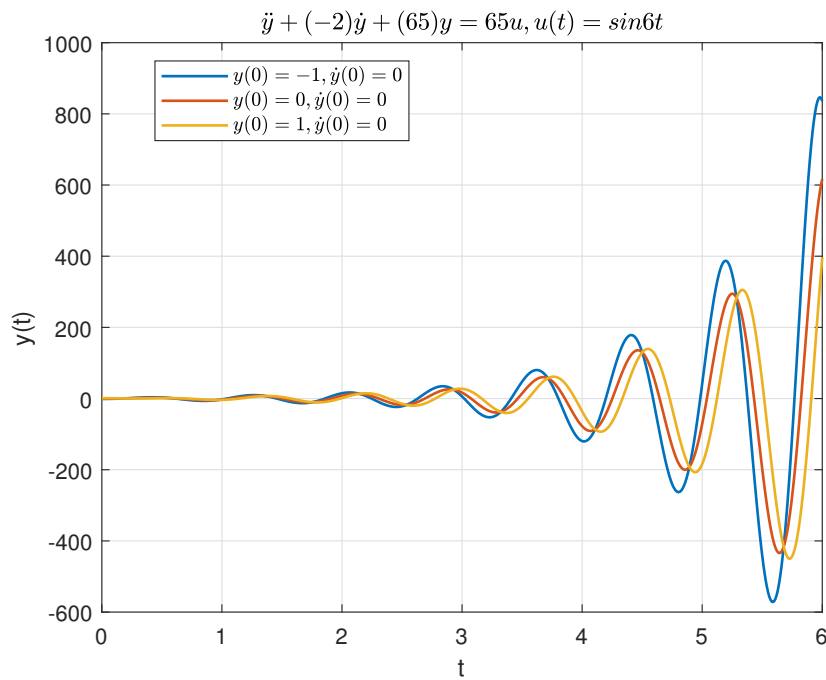
Для первого набора параметров система асимптотически устойчива. При всех рассмотренных начальных условиях система демонстрирует схожее поведение. Видно воздействие входного сигнала –  $u(t)$  как бы накладывается на график решения системы, смещая её по оси ординат на константную величину входного сигнала (1.5) в случае  $u(t) = 1.5$ . В случае с  $u(t) = 0.6t$  график выхода  $y(t)$  начинает стремиться к наклонной прямой, которой и является график  $u(t)$ . При  $u(t) = \sin(6t)$  система теряет свою асимптотическую устойчивость, становится устойчивой по Ляпунову, и сходится уже к некой гармонике.

Рисунок 5:  $a_1 = 0, a_0 = 64, u(t) = 1.5$ Рисунок 6:  $a_1 = 0, a_0 = 64, u(t) = 0.6t$

Рисунок 7:  $a_1 = 0, a_0 = 64, u(t) = \sin 6t$ 

В этом случае система в отсутствие начального воздействия является устойчивой по Ляпунову, не имеет асимптотической устойчивости. Входное воздействие вида константной функции, как и в случае с предыдущим набором параметров, смещает график выходного сигнала по оси ординат, воздействие на систему вида наклонной прямой сказывается схожим образом, однако колебания при различных начальных условиях имеют разную амплитуду, в отличие от других видов рассмотренных воздействий. В случае с гармоническим сигналом в виде входного воздействия картина чуть более интересная – гармоника свободной и вынужденной составляющих движения накладываются друг на друга, появляется новая устойчивая гармоника с частотой 6, и период периодической функции выхода меняется.

Рисунок 8:  $a_1 = -2, a_0 = 65, u(t) = 1.5$ Рисунок 9:  $a_1 = -2, a_0 = 65, u(t) = 0.6t$

Рисунок 10:  $a_1 = -2, a_0 = 65, u(t) = \sin 6t$ 

При третьем наборе параметров система в отсутствие входного воздействия расходитсся с течением времени, и воздействие вида  $u(t) = 0.6t$  приводит к рассогласованию выходов системы при различных начальных условиях, а также замедляет скорость расхождения системы при нулевых начальных условиях, но в конечном счёте график всё равно уйдёт в бесконечность.

### 1.1 Выводы

Входное воздействие влияет на выход системы, и разные входные воздействия влияют по-разному, при этом не меняя тип устойчивости системы в сравнении с соответствующими им свободными системами (с нулевым начальным воздействием)

## 2 Качество переходных процессов

В задании рассматривается передаточная функция следующего вида:

$$W(s) = \frac{|\lambda_1 \lambda_2 \lambda_3|}{(s - \lambda_1)(s - \lambda_2)(s - \lambda_3)}$$

В качестве исследуемых наборов полюсов  $\lambda_1, \lambda_2, \lambda_3$  взяты следующие:

1.  $\lambda_1 = -1, \lambda_2 = -1, \lambda_3 = -1$
2.  $\lambda_1 = -1, \lambda_2 = -1, \lambda_3 = -10$
3.  $\lambda_1 = -1, \lambda_2 = -20, \lambda_3 = -10$
4.  $\lambda_1 = -1 + i, \lambda_2 = -1 - i, \lambda_3 = -1$
5.  $\lambda_1 = -1 + i, \lambda_2 = -1 - i, \lambda_3 = -5$
6.  $\lambda_1 = -1 + 3i, \lambda_2 = -1 - 3i, \lambda_3 = -5$
7.  $\lambda_1 = -3 + 3i, \lambda_2 = -3 - 3i, \lambda_3 = -5$
8.  $\lambda_1 = -3 + 100i, \lambda_2 = -3 - 100i, \lambda_3 = -5$

Для определения времени переходного процесса принял для всех наборов окрестность установившегося значения  $\Delta_{\Pi} = 0.02$  (0.02%), промоделировал получившиеся системы без начальных условий для каждого из наборов полюсов, в качестве входного воздействия применяя функцию Хевисайда:

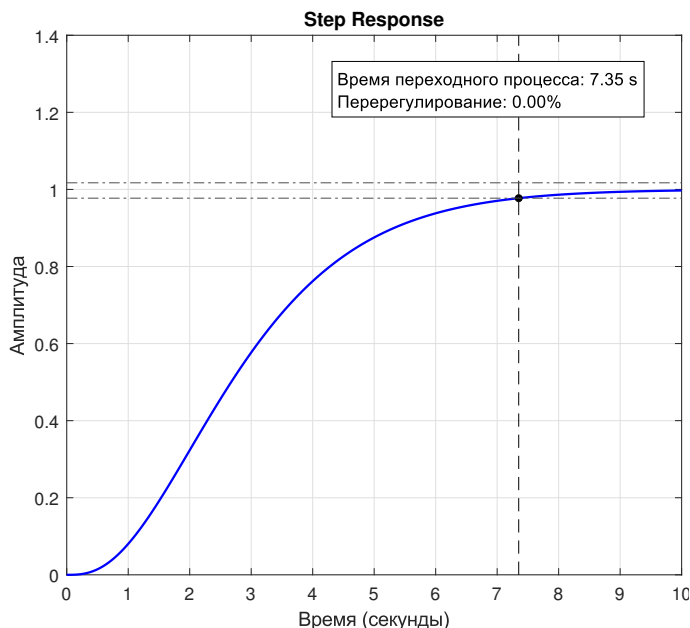


Рисунок 11:  $\lambda_1 = -1, \lambda_2 = -1, \lambda_3 = -1$ ,  
График переходного процесса

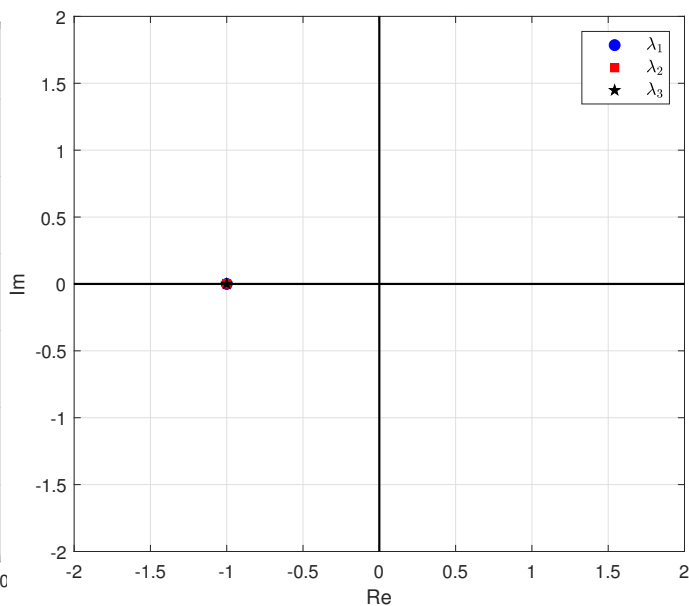


Рисунок 12:  $\lambda_1 = -1, \lambda_2 = -1, \lambda_3 = -1$ ,  
Выбранные корни на комплексной плоскости

По графику комплексной плоскости с отмеченными полюсами системы можно заметить, что все полюса расположены в одной точке, тогда они могут быть охвачены сколь угодно малым сектором, а значит их степень колебательности равна нулю, что и отображается на графике переходного процесса — система не колеблется, стремится к установившемуся значению лишь снизу, не пересекая прямую  $y = y_{уст.}$ . Значит, верхняя граница перерегулирования не подлежит оценке по связи со степенью колебательности ( $e^{-\frac{\pi}{\sigma}} \cdot 100\%$  не имеет значения из-за деления на 0). То же будет справедливо и для дальнейших вещественных наборов полюсов.

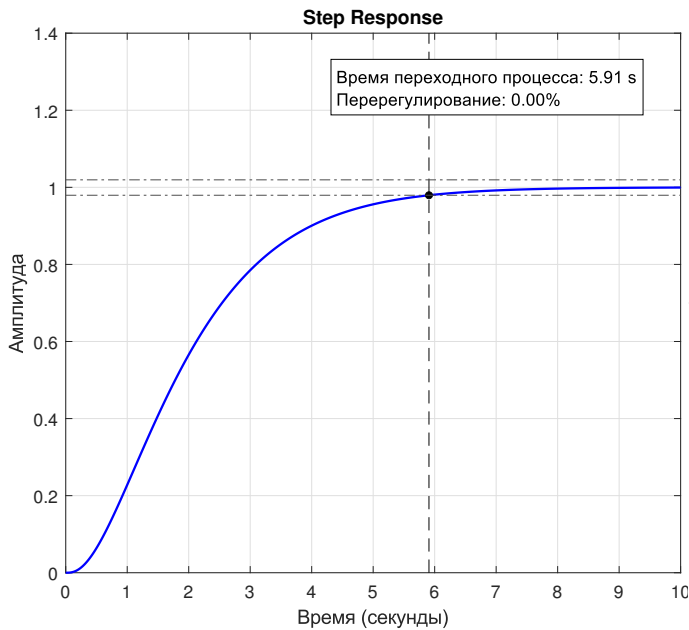


Рисунок 13:  $\lambda_1 = -1, \lambda_2 = -1, \lambda_3 = -10$ ,  
График переходного процесса

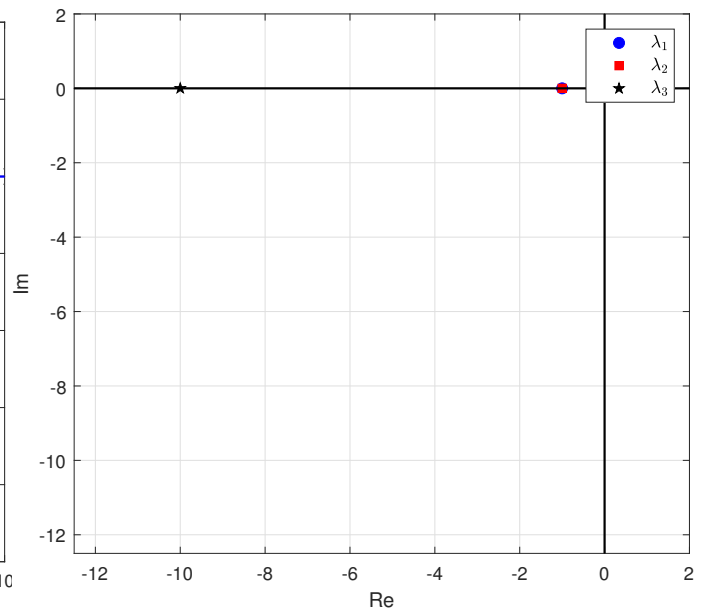


Рисунок 14:  $\lambda_1 = -1, \lambda_2 = -1, \lambda_3 = -10$ ,  
Выбранные корни на комплексной плоскости

Один из полюсов теперь располагается дальше по оси Im на карте полюсов. Соответствующая ему мода затухает быстрее чем в первом случае, это и приводит к уменьшению времени переходного процесса. Перерегулирование всё также равно 0, как и степень колебательности.

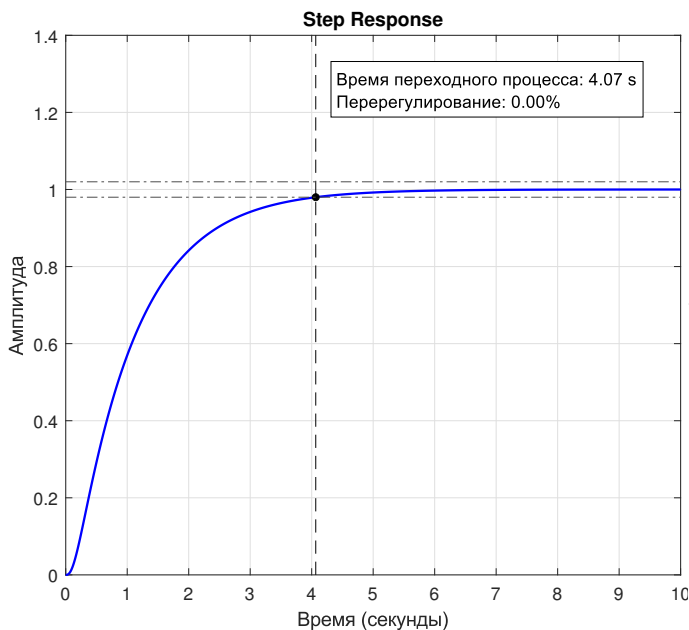


Рисунок 15:  $\lambda_1 = -1, \lambda_2 = -20, \lambda_3 = -10$ ,  
График переходного процесса

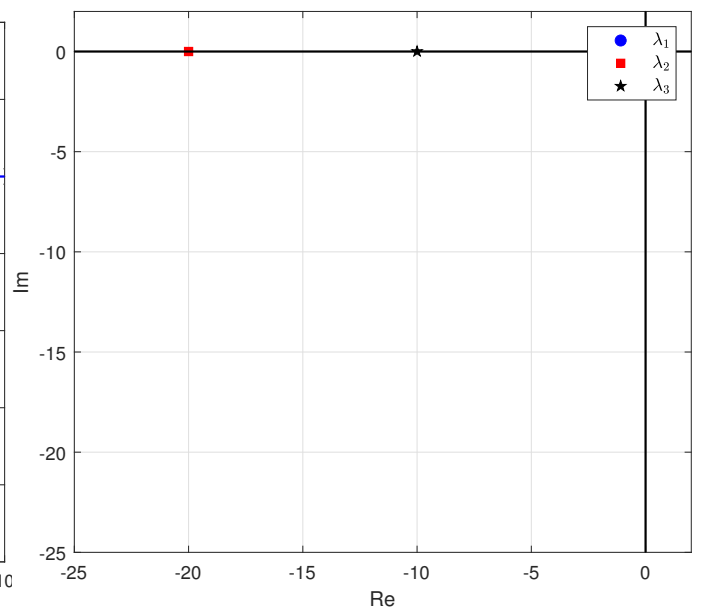


Рисунок 16:  $\lambda_1 = -1, \lambda_2 = -20, \lambda_3 = -10$ ,  
Выбранные корни на комплексной плоскости

Рассматривая графики для этого набора полюсов, видим, что время переходного процесса снова уменьшилось из-за увеличения значения одного из полюсов по модулю. Мнимой части корней всё также нет, из-за этого не наблюдается и колебательность.



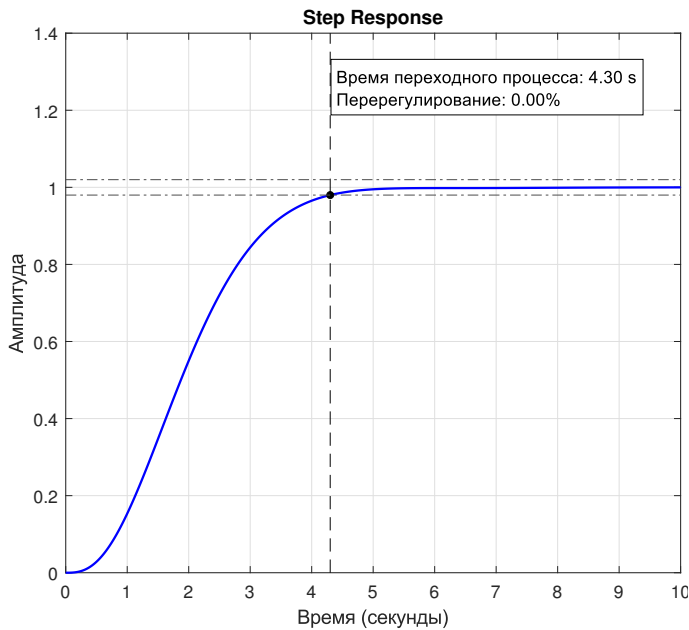


Рисунок 17:  $\lambda_1 = -1 + i$ ,  $\lambda_2 = -1 - i$ ,  $\lambda_3 = -1$ ,  
График переходного процесса

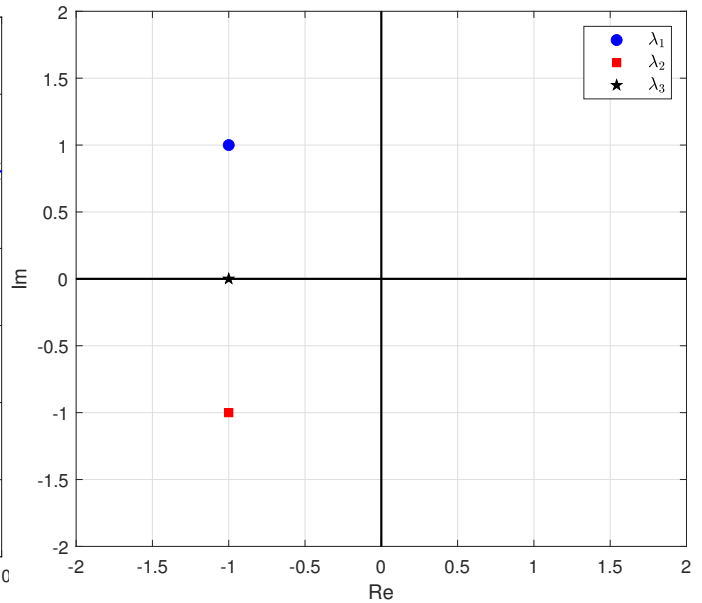


Рисунок 18:  $\lambda_1 = -1 + i$ ,  $\lambda_2 = -1 - i$ ,  $\lambda_3 = -1$ ,  
Выбранные корни на комплексной плоскости

В этом случае можно оценить степень колебательности и перерегулирование. По графику на комплексной плоскости можем заметить, что в предполагаемом секторе, в котором расположены полюса устойчивости системы, крайними полюсами являются  $\lambda_1$  и  $\lambda_2$ . Степень колебательности определяется именно по ним:  $\mu = \frac{|Im(\lambda_2)|}{|Re(\lambda_2)|} = \frac{1}{1} = 1$ . Тогда на основе полученного значения можно оценить верхнюю границу перерегулирования:  $\sigma < e^{-\frac{\pi}{\mu}} \cdot 100\% = e^{-\frac{\pi}{1}} \cdot 100\% \approx 4.32\%$ . То есть в системе могут быть колебания вплоть до 4.32% от установившегося значения. По графику переходного процесса можно заметить, что колебания отсутствуют вовсе. Это может быть связано с тем, что доминантный корень отсутствует — все 3 полюса расположены на одинаковом расстоянии от оси Im.

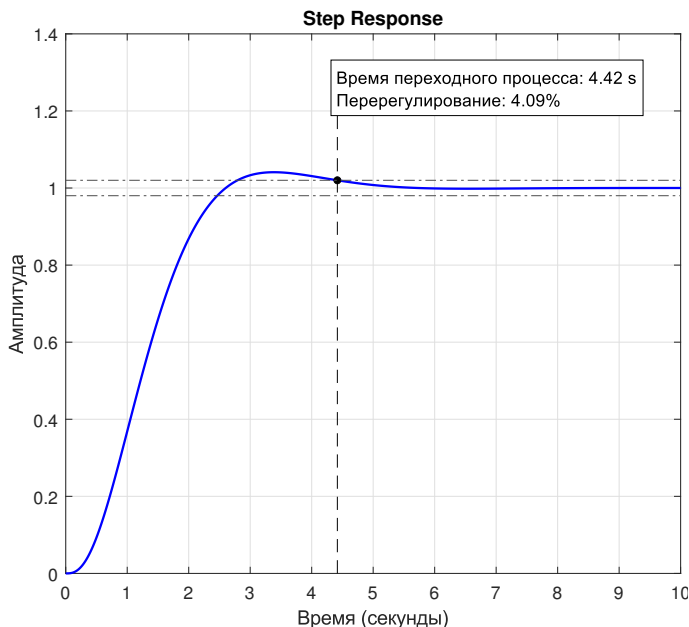


Рисунок 19:  $\lambda_1 = -1 + i$ ,  $\lambda_2 = -1 - i$ ,  $\lambda_3 = -5$ ,  
График переходного процесса

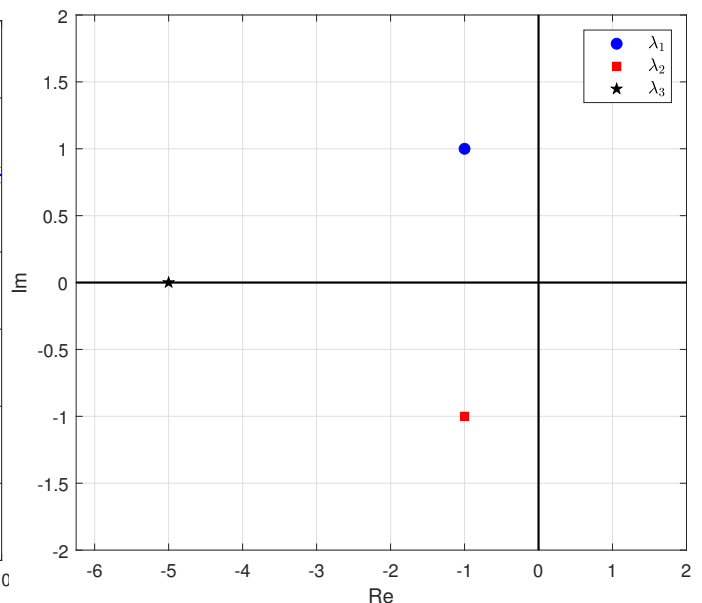


Рисунок 20:  $\lambda_1 = -1 + i$ ,  $\lambda_2 = -1 - i$ ,  $\lambda_3 = -5$ ,  
Выбранные корни на комплексной плоскости

Сразу оценим степень колебательности для этого случая. Крайними полюсами сектора являются всё те же  $\lambda$ , что и в прошлом случае, а значит, оценка верхней границы перерегулирования сохраняется — 4.32%. Само же перерегулирование составило 4.09%, что меньше верхней его оценки.

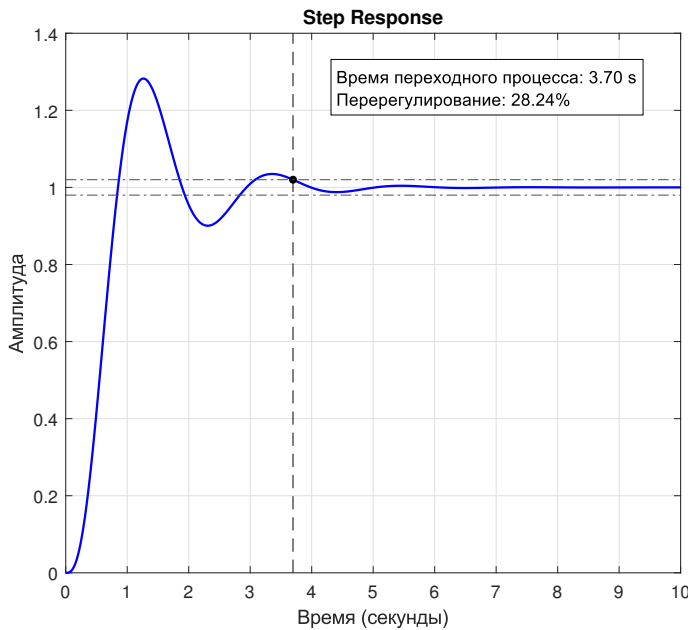


Рисунок 21:  $\lambda_1 = -1 + 3i$ ,  $\lambda_2 = -1 - 3i$ ,  $\lambda_3 = -5$ ,  
График переходного процесса

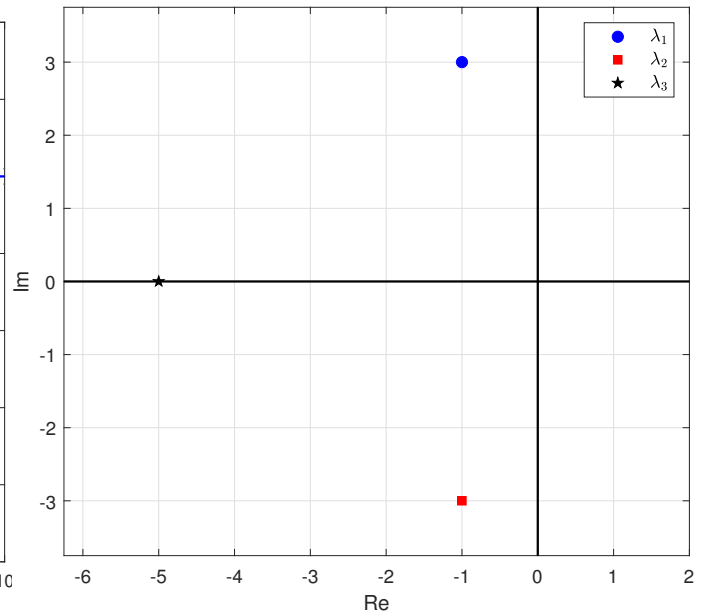


Рисунок 22:  $\lambda_1 = -1 + 3i$ ,  $\lambda_2 = -1 - 3i$ ,  $\lambda_3 = -5$ ,  
Выбранные корни на комплексной плоскости

В этом случае колебания системы гораздо сильнее из-за повышения значений мнимой части комплексных полюсов, однако время переходного процесса также ниже, почти на пятую часть.

Степень колебательности всё также определяется по карте полюсов и равняется 3. Рассчитаем по этому значению верхнюю оценку перерегулирования:  $\sigma < e^{-\frac{\pi}{3}} \cdot 100\% \approx 35.092\%$ . Верхняя граница довольно высокая в сравнении с предыдущими значениями. Найденное значение перерегулирования, 28.24%, не выходит за найденную верхнюю границу.

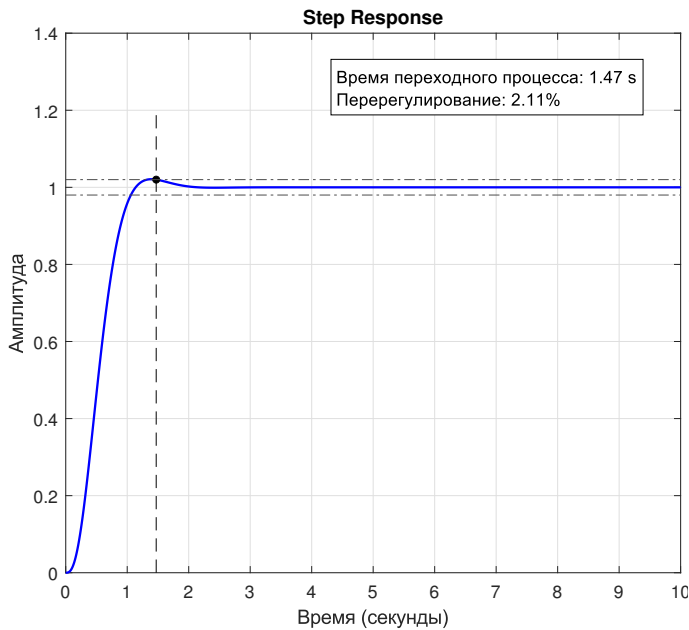


Рисунок 23:  $\lambda_1 = -3 + 3i$ ,  $\lambda_2 = -3 - 3i$ ,  $\lambda_3 = -5$ ,  
График переходного процесса

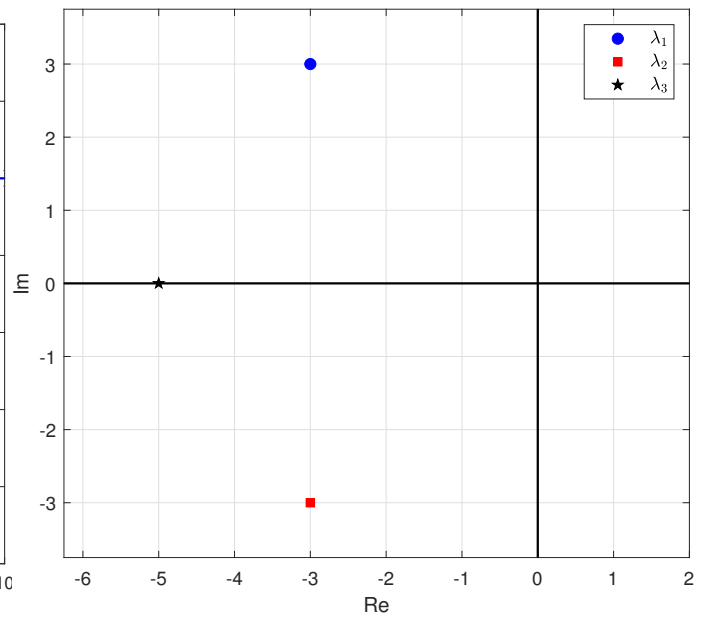


Рисунок 24:  $\lambda_1 = -3 + 3i$ ,  $\lambda_2 = -3 - 3i$ ,  $\lambda_3 = -5$ ,  
Выбранные корни на комплексной плоскости

И снова  $\text{Re}(\lambda_{1,2}) = \text{Im}(\lambda_{1,2})$ , что приводит к  $\mu = 1$ , а  $\sigma < 4.32\%$ . Найденное значение перерегулирования (2.11%) и в этом случае не больше верхней оценки. Время переходного процесса же сильно уменьшилось при увеличении модуля вещественной части комплексных корней.

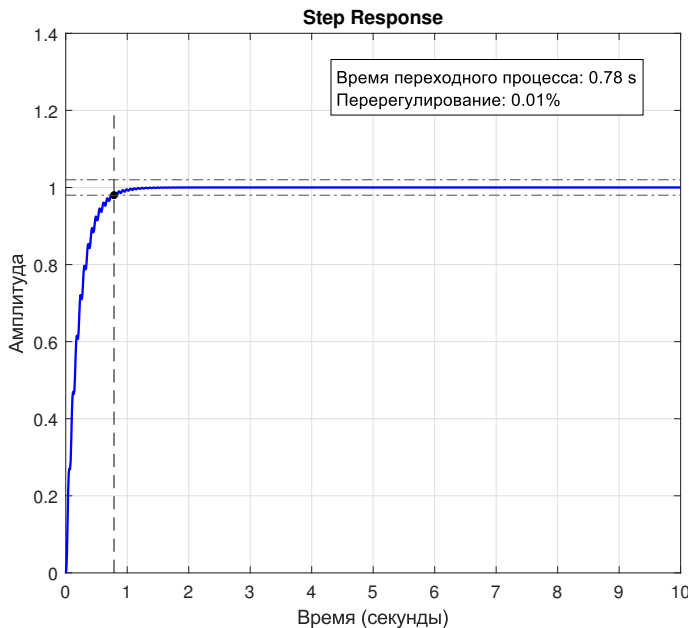


Рисунок 25:  $\lambda_1 = -3 + 100i$ ,  $\lambda_2 = -3 - 100i$ ,  $\lambda_3 = -5$ ,  
График переходного процесса

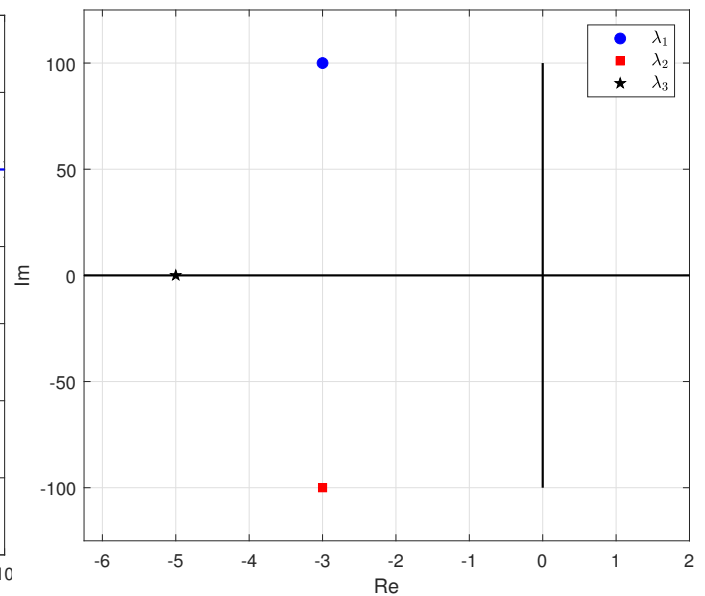


Рисунок 26:  $\lambda_1 = -3 + 100i$ ,  $\lambda_2 = -3 - 100i$ ,  $\lambda_3 = -5$ ,  
Выбранные корни на комплексной плоскости

Повышение значения мнимой части пары комплексно-сопряжённых полюсов по модулю привело к значительному увеличению числа периодов колебаний на рассматриваемом временном отрезке, и перерегулирование уменьшилось, как и время переходного процесса.

Степень колебательности для этого случая равна  $100/3$ , и тогда верхняя оценка перерегулирования по связи

со степенью колебательности:  $\sigma < e^{-\frac{3\pi}{100}} \cdot 100\% \approx 91.005\%$ .

## 2.1 Выводы

Чем выше располагаются полюса на карте полюсов, тем больше будет периодов колебаний на графике переходного процесса, обратно пропорционально колебательности при увеличении мнимой части комплексных корней меняется и время переходного процесса — чем больше мнимая часть, тем быстрее система сходится к установившемуся значению. Можно достичь максимальной колебательности, а, соответственно, и максимального уменьшения времени переходного процесса, приблизив крайние комплексно-сопряжённые корни к прямой  $\text{Re} = 0$

При выполнении задания удалось “погасить” излишнюю колебательность за счёт увеличения вещественной части комплексно-сопряжённого полюса по модулю, уменьшив при этом время переходного процесса.

## 3 Вывод по работе

Я познакомился с вынужденным движением, с тем, как именно входное воздействие влияет на выходы систем. Также ознакомился с показателями качества, которыми можно оценить составленную систему, на их основе подобрал наиболее оптимальные параметры для минимизации времени переходного процесса и перерегулирования, понял, в каких условиях возникает перерегулирование, и как понять, каких значений оно может достичь.

## 4 Приложение А. Код для выполнения заданий

### Листинг 1. Код для выполнения задания 1

```

1 % clear all;
2 close all;
3
4 [~, scriptName] = fileparts(mfilename('fullpath'));
5 if ~isfolder(scriptName)
6     mkdir(scriptName);
7 end
8
9 t = (0:0.01:6)';
10 % u = [t, 1.5*ones(size(t))];
11 u = [t, 0.6*t];
12 % u = [t, sin(t*6)];
13 a_1 = -2;
14 a_0 = 65;
15 % u_str = '1.5';
16 u_str = '0.6t';
17 % u_str = 'sin(6t)';
18 y0 = 0;
19 y_t = figure;
20
21 for yy0 = [-1 0 1]
22     out = sim('ex1/model.slx','StopTime','6');
23     y_model = out.y;
24     y_model.plot(DisplayName="$\ddot{y}(0) = " + string(yy0) + ", y(0) = 0$", LineWidth=1.2)
25     hold on;
26 end
27
28 legend(BackgroundAlpha=.99, Interpreter='latex', Location='best')
29 grid on;
30 title('$\ddot{y} + (' + string(a_1) + ')\dot{y} + (' + string(a_0) + ')y = ' + string(a_0) + 'u, u(t) = ' + u_str + '$', 'Interpreter', 'latex', FontWeight='normal')
31 xlabel('t'), ylabel('y(t)')
32 % ylim([-1.5, 1.5]);
33 saveas(y_t, string(scriptName) + '\'+u_str+'_'+string(a_1) + '_' + string(a_0) + '.eps', 'eps')

```

Листинг 1: Код для построения графиков для задания 1

### Листинг 2. Код для выполнения задания 2

```

1 % clear all;
2 close all;
3
4 t = (0:0.01:10)';
5 u = [t, ones(size(t))]; % входное воздействие -- функция Хевисайда
6
7 [~, scriptName] = fileparts(mfilename('fullpath'));
8 if ~isfolder(scriptName)
9     mkdir(scriptName);
10 end
11
12 lambdas_all = [-1, -1, -1;
13               -1, -1, -10;
14               -1, -20, -10;
15               -15, -20, -10;
16               -1+1j, -1-1j, -1;
17               -1+1j, -1-1j, -5;
18               -1+3j, -1-3j, -5;
19               -3+3j, -3-3j, -5;
20               -1+1j, -1-1j, -15];
21
22 for i = 1:size(lambdas_all, 1)
23     lambda1 = lambdas_all(i, 1);
24     lambda2 = lambdas_all(i, 2);
25     lambda3 = lambdas_all(i, 3);
26

```

```

27 fig_complex = figure('Units', 'pixels', 'Position', [100 100 600 500]);
28 hold on; grid on; box on;
29
30 plot(real(lambda1), imag(lambda1), 'bo', 'MarkerFaceColor', 'b');
31 plot(real(lambda2), imag(lambda2), 'red', 'Marker', 'square', 'MarkerFaceColor', 'red', '
LineStyle', 'none');
32 plot(real(lambda3), imag(lambda3), 'black', 'Marker', 'pentagram', 'MarkerFaceColor', 'black', '
LineStyle', 'none');
33 xlabel('Re'); ylabel('Im');
34
35 plot([-100 100], [0 0], 'black', LineWidth=1.2)
36 plot([0 0], [-100 100], 'black', LineWidth=1.2)
37 legend('$\lambda_1$', '$\lambda_2$', '$\lambda_3$', 'Interpreter', 'latex', 'FontSize', 10);
38 if (min(imag(lambdas_all(i, :))) ~= 0)
39     ylim([min(-2, min(imag(lambdas_all(i, :)))-abs(min(imag(lambdas_all(i, :))))/4), max(2, max(
imag(lambdas_all(i, :))+abs(max(imag(lambdas_all(i, :))))/4))]
40 else
41     ylim([min(-2, min(real(lambdas_all(i, :)))-abs(min(real(lambdas_all(i, :))))/4), max(2, max(
real(lambdas_all(i, :))+abs(max(real(lambdas_all(i, :))))/4))]
42 end
43 xlim([min(-2, min(real(lambdas_all(i, :)))-abs(min(real(lambdas_all(i, :))))/4), max(2, max(real(
lambdas_all(i, :))+abs(max(real(lambdas_all(i, :))))/4))]
44
45 num = [abs(lambda3*lambda2*lambda1)];
46 den = poly([lambda1, lambda2, lambda3]);
47 sys = tf(num, den);
48 y = lsim(sys, u(:,2), t);
49 info = stepinfo(y, t);
50
51 fig_main = figure('Units', 'pixels', 'Position', [100 100 600 500]);
52 plot(t, y, LineWidth=1.3, Color='blue')
53 grid on;
54 title('Step Response')
55 xlabel('Время (секунды)'), ylabel('Амплитуда')
56 if (max(y) <= 1)
57     ylim([0, 1.4])
58 end
59 hold on;
60 y_final = info.SettlingMin + (info.SettlingMax - info.SettlingMin)/2; % среднее значение
61 plot([info.SettlingTime info.SettlingTime], ylim, 'k--'); % вертикальная линия
62
63 y_settle = interp1(t, y, info.SettlingTime);
64 y_steady = y(end); % установившееся значение
65 y_difference = abs(y_steady - y_settle); % 0.02
66 y_max = max(y); % максимум отклика
67 yline(y_steady-y_difference, 'k-.'); % нижняя граница окрестности
68 yline(y_steady+y_difference, 'k-.'); % верхняя граница окрестности
69 sigma = abs(y_max - y_steady) / abs(y_steady) * 100; % в процентах
70
71 text('Units', 'normalized', ...
72      'Position', [0.44 0.9], ...
73      'String', sprintf('Время переходного процесса: %.2f s\nПеререгулирование: %.2f%%', info.
SettlingTime, sigma), ...
74      'BackgroundColor', 'w', ...
75      'EdgeColor', 'k');
76
77 % Отображаем точку
78 plot(info.SettlingTime, y_settle, 'blacko', 'MarkerFaceColor', 'black', 'MarkerSize', 4);
79
80 hold off;
81 set(fig_complex, 'PaperUnits', 'inches', 'PaperPosition', [0 0 6 5]);
82 saveas(fig_complex, string(scriptName) + '\complex_plan_' + string(lambda1) + '_' + string(
lambda2) + '_' + string(lambda3) + '.eps', 'eps')
83 print(fig_main, '-depsc', string(scriptName) + '\_' + string(lambda1) + '_' + string(lambda2) + '
_' + string(lambda3) + '.eps')
84
85 end

```

Листинг 2: Код для построения графиков для задания 2